

В. Ф. Мейш¹, Н. В. Майбородина²

НАПРЯЖЕННОЕ СОСТОЯНИЕ ДИСКРЕТНО ПОДКРЕПЛЕННЫХ
ЭЛЛИпсоИДАЛЬНЫХ ОБОЛОЧЕК ПРИ ДЕЙСТВИИ
НОРМАЛЬНОЙ НЕСТАЦИОНАРНОЙ НАГРУЗКИ

¹*Институт механики им. С.П. Тимошенко НАНУ,
ул. Нестерова 3, 03057, Киев, Украина,
e-mail: vfmeish@gmail.com;*

²*ОП НУБиП Украины «Нежинский агротехнический институт»,
ул. Шевченко 10, 16600, Нежин, Украина.*

Abstract. A statement of problems on the forced non-axisymmetric vibrations of stiffened ellipsoidal shells under nonstationary loads is presented. A numerical algorithm of solving is constructed and the obtained results are analysed.

Key words: supported ellipsoidal shell, geometrically nonlinear theory, numerical method, nonstationary vibrations.

Введение.

Проблема вынужденных колебаний подкрепленных оболочек достаточно хорошо изучена. Согласно обзорных работ и монографий, в основном рассмотрены осесимметричные и неосесимметричные гармонические колебания подкрепленных оболочек простой геометрии (цилиндрические, конические и сферические подкрепленные оболочки) [1]. Результаты по вынужденным колебаниям подкрепленных оболочек при импульсных нагрузках достаточно широко представлены в работе [2]. Практически отсутствуют работы по изучению динамического поведения подкрепленных оболочек более сложной формы. В этом направлении можно выделить следующие работы [4, 16 – 18], в которых представлены результаты по вынужденным колебаниям оболочек более сложной формы, в частности эллипсоидальных подкрепленных оболочек [4, 16]. Следует отметить, что большинство работ по динамике эллипсоидальных оболочек на сегодняшний день выполнено для задач гармонических, свободных колебаний и устойчивости (случай гладких оболочек) [7 – 15, 19, 20]. Интерес представляют исследования по изучению неосесимметричных колебаний подкрепленных оболочек более сложной геометрии с учетом дискретного расположения ребер при действии нестационарных нагрузок.

В данной работе приведены уравнения неосесимметричных колебаний дискретно подкрепленной эллипсоидальной оболочки. При рассмотрении обшивки и подкрепляющих ребер используется уточненная модель оболочек и стержней, в которой принимаются гипотезы Тимошенко [2]. Для вывода уравнений колебаний использован вариационный принцип Гамильтона – Остроградского. Численный метод решения динамических уравнений основан на применении интегро-интерполяционного метода построения конечно-разностных схем для уравнения с разрывными коэффициентами. В качестве числового примера рассмотрена задача неосесимметричных колебаний поперечно подкрепленной эллипсоидальной оболочки при действии распределенной внутренней нагрузки.

§1. Постановка задачи. Рассмотрим неоднородную упругую структуру, которая представляет собой дискретно подкрепленную поперечными и продольными ребрами эллипсоидальную оболочку. Каноническое уравнение гладкого эллипсоида вращения имеет вид:

$$\frac{x^2}{a^2} + \frac{y^2}{a^2} + \frac{z^2}{b^2} = 1, \quad (1.1)$$

где величины a, b – полуоси эллипса.

Параметрические уравнения эллипсоида имеют вид [3]:

$$x = a \sin \alpha_1 \cos \alpha_2; \quad y = a \sin \alpha_1 \sin \alpha_2; \quad z = b \cos \alpha_1, \quad (1.2)$$

где параметры α_1, α_2 – гауссовы криволинейные координаты, причем координата α_1 соответствует меридиальному направлению, а α_2 – окружному.

С учетом соотношений (1.2), получены выражения для компонент метрики и формы срединной поверхности оболочки [3], а также коэффициенты первой квадратичной формы и кривизны срединной поверхности эллипсоидальной оболочки в следующем виде:

$$\begin{aligned} A_1 &= a(\cos^2 \alpha_1 + k^2 \sin^2 \alpha_1)^{1/2}; \quad A_2 = a \sin \alpha_1; \quad k = b/a; \\ k_1 &= \frac{b}{a^2}(\cos^2 \alpha_1 + k^2 \sin^2 \alpha_1)^{-3/2}; \quad k_2 = \frac{b}{a^2}(\cos^2 \alpha_1 + k^2 \sin^2 \alpha_1)^{-1/2}. \end{aligned} \quad (1.3)$$

При построении математической модели процесса динамического деформирования конструкции используем геометрически нелинейный вариант теории оболочек, основанной на гипотезах Тимошенко, в основу которого положены следующие предположения: изменение перемещений по толщине оболочки в системе координат (s_1, s_2, z) задается аппроксимацией вида

$$\begin{aligned} \bar{u}_1^z(s_1, s_2, z) &= u_1(s_1, s_2) + z\varphi_1(s_1, s_2); \quad \bar{u}_2^z(s_1, s_2, z) = u_2(s_1, s_2) + z\varphi_2(s_1, s_2); \\ \bar{u}_3^z(s_1, s_2, z) &= u_3(s_1, s_2), \quad z \in \left[-\frac{h}{2}, \frac{h}{2}\right], \end{aligned} \quad (1.4)$$

где $\bar{U} = (u_1, u_2, u_3, \varphi_1, \varphi_2)^T$ – компоненты обобщенного вектора перемещений срединной поверхности оболочки; s_1, s_2 – длины дуг в меридиальном и окружном направлениях.

При построении математической модели деформирования i -го подкрепляющего ребра, направленного вдоль оси α_1 , исходим из гипотезы недеформируемости поперечного сечения подкрепляющего элемента в рамках геометрически нелинейной теории стержней Тимошенко. Деформированное состояние i -го подкрепляющего ребра определяется через компоненты обобщенного вектора перемещений $\bar{U}_i = (u_{1i}, u_{2i}, u_{3i}, \varphi_{1i}, \varphi_{2i})^T$. При этом используется следующая аппроксимация перемещений по сечению i -го подкрепляющего ребра

$$\begin{aligned} u_{1i}^{yz}(s_1, y, z) &= u_{1i}(s_1) + z\varphi_{1i}(s_1); \\ u_{2i}^{yz}(s_1, y, z) &= u_{2i}(s_1) + z\varphi_{2i}(s_1); \quad u_{3i}^{yz}(s_1, y, z) = u_{3i}(s_1). \end{aligned} \quad (1.5)$$

Условия контакта между компонентами вектора перемещений центра тяжести поперечного сечения i -го ребра, направленного вдоль оси α_1 , и компонентами обобщенного вектора перемещения исходной срединной поверхности записываем в виде [2]

$$\begin{aligned}
u_{1i}(s_1) &= u_1(s_1, s_{2i}) \pm h_{ci} \varphi_1(s_1, s_{2i}); \\
u_{2i}(s_1) &= u_2(s_1, s_{2i}) \pm h_{ci} \varphi_2(s_1, s_{2i});
\end{aligned} \tag{1.6}$$

$$u_{3i}(s_1) = u_3(s_1, s_{2i}), \quad \varphi_{1i}(s_1) = \varphi_1(s_1, s_{2i}), \quad \varphi_{2i}(s_1) = \varphi_2(s_1, s_{2i}),$$

где $h_{ci} = 0,5(h + h_i)$ – расстояние от срединной поверхности к линии центра тяжести поперечного сечения i -го ребра; h_i – высота i -го подкрепляющего ребра, направленного вдоль оси α_1 ; s_{2i} – координата линии проектирования центра тяжести поперечного сечения i -го ребра на координатную срединную поверхность обшивки.

При построении математической модели деформирования j -го подкрепляющего ребра, направляемого вдоль оси α_2 , исходим из гипотезы недеформируемости поперечного сечения подкрепляющего элемента в рамках геометрически нелинейной теории стержней Тимошенко. Деформированное состояние j -го подкрепляющего ребра определяем через компоненты обобщенного вектора перемещений $\bar{U}_j = (u_{1j}, u_{2j}, u_{3j}, \varphi_{1j}, \varphi_{2j})^T$. При этом используем следующую аппроксимацию перемещений по сечению j -го подкрепляющего ребра:

$$\begin{aligned}
u_{1j}^{xz}(x, s_2, z) &= u_{1j}(s_2) + z \varphi_{1j}(s_2); \quad u_{2j}^{xz}(x, s_2, z) = u_{2j}(s_2) + z \varphi_{2j}(s_2); \\
u_{3j}^{xz}(x, s_2, z) &= u_{3j}(s_2).
\end{aligned} \tag{1.7}$$

Условия контакта между компонентами вектора перемещений центра тяжести поперечного сечения j -го ребра, направленного вдоль оси α_2 , и компонентами обобщенного вектора перемещения исходной срединной поверхности записываем в виде [2]:

$$\begin{aligned}
u_{1j}(s_2) &= u_1(s_{1j}, s_2) \pm h_{cj} \varphi_2(s_{1j}, s_2); \quad u_{2j}(s_2) = u_2(s_{1j}, s_2) \pm h_{cj} \varphi_1(s_{1j}, s_2); \\
u_{3j}(s_2) &= u_3(s_{1j}, s_2); \quad \varphi_{1j}(s_2) = \varphi_2(s_{1j}, s_2); \quad \varphi_{2j}(s_2) = \varphi_1(s_{1j}, s_2),
\end{aligned} \tag{1.8}$$

где $h_{cj} = 0,5(h + h_j)$ – расстояние от срединной поверхности к линии центра тяжести поперечного сечения j -го; h_j – высота j -го подкрепляющего ребра, направленного вдоль оси α_2 ; s_{1j} – координата линии проектирования центра тяжести поперечного сечения j -го ребра на координатную срединную поверхность обшивки.

В уравнениях (1.6), (1.8) знак «+» соответствует случаю внешнего подкрепления, а знак «-» соответствует случаю внутреннего подкрепления ребрами.

Для вывода уравнений движения дискретно подкрепленной структуры используем вариационный принцип Гамильтона – Остроградского [2], согласно которому

$$\int_{t_1}^{t_2} [\delta(\Pi - K) + \delta A] dt = 0 \tag{1.9}$$

$$\left(\Pi = \Pi_0 + \sum_{i=1}^{n_1} \Pi_i + \sum_{j=1}^{n_2} \Pi_j; \quad K = K_0 + \sum_{i=1}^{n_1} K_i + \sum_{j=1}^{n_2} K_j \right), \tag{1.10}$$

где Π_0, K_0 – потенциальная и кинетическая энергия обшивки; Π_i, K_i – потенциальная и кинетическая энергия соответствующего i -го подкрепляющего ребра; Π_j, K_j –

потенциальная и кинетическая энергия соответствующего j -го подкрепляющего ребра; A – работа внешних сил.

Выражения для δK и $\delta \Pi$ имеют такой вид:

$$\begin{aligned} \delta \Pi &= \delta \Pi_0 + \sum_{i=1}^{n_1} \delta \Pi_i + \sum_{j=1}^{n_2} \delta \Pi_j; \quad \delta K = \delta K_0 + \sum_{i=1}^{n_1} \delta K_i + \sum_{j=1}^{n_2} \delta K_j; \\ \delta \Pi_0 &= \iint_S [T_{11} \delta \varepsilon_{11} + T_{22} \delta \varepsilon_{22} + S \delta \varepsilon_{12} + T_{13} \delta \varepsilon_{13} + T_{23} \delta \varepsilon_{23} + \\ &\quad + M_{11} \delta \kappa_{11} + M_{22} \delta \kappa_{22} + H \delta (\tau_1 + \tau_2)] ds; \\ \delta \Pi_i &= \int_{l_1} [T_{11i} \delta \varepsilon_{11i} + T_{12i} \delta \varepsilon_{12i} + T_{13i} \delta \varepsilon_{13i} + M_{11i} \delta \chi_{11i} + M_{12i} \delta \chi_{12i}] dl_1; \quad (1.11) \\ \delta \Pi_j &= \int_{l_2} [T_{21j} \delta \varepsilon_{21j} + T_{22j} \delta \varepsilon_{22j} + T_{23j} \delta \varepsilon_{23j} + M_{21j} \delta \kappa_{21j} + M_{22j} \delta \kappa_{22j}] dl_2; \\ \delta K_0 &= \rho h \iint_S \left[\frac{\partial u_1}{\partial t} \delta \frac{\partial u_1}{\partial t} + \frac{\partial u_2}{\partial t} \delta \frac{\partial u_2}{\partial t} + \frac{\partial u_3}{\partial t} \delta \frac{\partial u_3}{\partial t} + \frac{h^2}{12} \left(\frac{\partial \varphi_1}{\partial t} \delta \frac{\partial \varphi_1}{\partial t} + \frac{\partial \varphi_2}{\partial t} \delta \frac{\partial \varphi_2}{\partial t} \right) \right] dS; \\ \delta K_i &= \rho_i h_i \int_{l_1} \left[\frac{\partial u_{1i}}{\partial t} \delta \frac{\partial u_{1i}}{\partial t} + \frac{\partial u_{2i}}{\partial t} \delta \frac{\partial u_{2i}}{\partial t} + \frac{\partial u_{3i}}{\partial t} \delta \frac{\partial u_{3i}}{\partial t} + \frac{I_{1i}}{F_i} \frac{\partial \varphi_{1i}}{\partial t} \delta \frac{\partial \varphi_{1i}}{\partial t} + \frac{I_{cri}}{F_i} \frac{\partial \varphi_{2i}}{\partial t} \delta \frac{\partial \varphi_{2i}}{\partial t} \right] dl_1; \\ \delta K_j &= \rho_j h_j \int_{l_2} \left[\frac{\partial u_{1j}}{\partial t} \delta \frac{\partial u_{1j}}{\partial t} + \frac{\partial u_{2j}}{\partial t} \delta \frac{\partial u_{2j}}{\partial t} + \frac{\partial u_{3j}}{\partial t} \delta \frac{\partial u_{3j}}{\partial t} + \right. \\ &\quad \left. + \frac{I_{crj}}{F_j} \frac{\partial \varphi_{1j}}{\partial t} \delta \frac{\partial \varphi_{1j}}{\partial t} + \frac{I_{2j}}{F_j} \frac{\partial \varphi_{2j}}{\partial t} \delta \frac{\partial \varphi_{2j}}{\partial t} \right] dl_2. \end{aligned}$$

После стандартного выполнения операций варьирования и интегрирования с учетом условий контакта обшивки (i -ое ребро) и обшивки (j -ое ребро) (1,6), (1.8) и их интегрального представления [2], функционал (1.11) представим в виде

$$\begin{aligned} &\int_{l_1} \left\{ \iint_S \left\{ \left[\rho h \frac{\partial^2 u_1}{\partial t^2} - L_1(\bar{U}) + \sum_{i=1}^{n_1} \left[\rho_i F_i \frac{\partial^2 u_{1i}}{\partial t^2} - L_{1i}(\bar{U}_i) \right] \delta(\alpha_2 - \alpha_{2i}) + \right. \right. \right. \\ &\quad \left. \left. + \sum_{j=1}^{n_2} \left[\rho_j F_j \frac{\partial^2 u_{1j}}{\partial t^2} - L_{1j}(\bar{U}_j) \right] \delta(\alpha_2 - \alpha_{2j}) \right\} \delta u_1 + \right. \\ &\quad \left. + \left\{ \rho h \frac{\partial^2 u_2}{\partial t^2} - L_2(\bar{U}) + \sum_{i=1}^{n_1} \left[\rho_i F_i \frac{\partial^2 u_{2i}}{\partial t^2} - L_{2i}(\bar{U}_i) \right] \delta(\alpha_2 - \alpha_{2i}) + \right. \right. \\ &\quad \left. \left. + \sum_{j=1}^{n_2} \left[\rho_j F_j \frac{\partial^2 u_{1j}}{\partial t^2} - L_{2j}(\bar{U}_j) \right] \delta(\alpha_2 - \alpha_{2j}) \right\} \delta u_2 + \right. \\ &\quad \left. + \left\{ \rho h \frac{\partial^2 u_3}{\partial t^2} - L_3(\bar{U}) + \sum_{i=1}^{n_1} \left[\rho_i F_i \frac{\partial^2 u_{3i}}{\partial t^2} - L_{3i}(\bar{U}_i) \right] \delta(\alpha_2 - \alpha_{2i}) + \right. \right. \\ &\quad \left. \left. + \sum_{j=1}^{n_2} \left[\rho_j F_j \frac{\partial^2 u_{1j}}{\partial t^2} - L_{3j}(\bar{U}_j) \right] \delta(\alpha_2 - \alpha_{2j}) \right\} \delta u_3 + \right. \end{aligned} \quad (1.12)$$

$$\begin{aligned}
& + \left\{ \rho \frac{h^3}{12} \frac{\partial^2 \varphi_1}{\partial t^2} - L_4(\bar{U}) + \sum_{i=1}^{n_1} \left[\rho_i F_i \left(\frac{\partial^2 u_{1i}}{\partial t^2} + \frac{I_{1i}}{F_i} \frac{\partial^2 \varphi_{1i}}{\partial t^2} \right) - L_{4i}(\bar{U}_i) \right] \delta(\alpha_2 - \alpha_{2i}) + \right. \\
& \quad \left. + \sum_{j=1}^{n_2} \left[\rho_j F_j \left(\frac{\partial^2 u_{1j}}{\partial t^2} + \frac{I_{crj}}{F_j} \frac{\partial^2 \varphi_{1j}}{\partial t^2} \right) - L_{4j}(\bar{U}_j) \right] \delta(\alpha_1 - \alpha_{1j}) \right\} \delta\varphi_1 + \\
& + \left\{ \rho \frac{h^3}{12} \frac{\partial^2 \varphi_2}{\partial t^2} - L_5(\bar{U}) + \sum_{i=1}^{n_1} \left[\rho_i F_i \left(\frac{\partial^2 u_{2i}}{\partial t^2} + \frac{I_{kri}}{F_i} \frac{\partial^2 \varphi_{2i}}{\partial t^2} \right) - L_{5i}(\bar{U}_i) \right] \delta(\alpha_2 - \alpha_{2i}) + \right. \\
& \quad \left. + \sum_{j=1}^{n_2} \left[\rho_j F_j \left(\frac{\partial^2 u_{2j}}{\partial t^2} + \frac{I_{2j}}{F_j} \frac{\partial^2 \varphi_{2j}}{\partial t^2} \right) - L_{5j}(\bar{U}_j) \right] \delta(\alpha_1 - \alpha_{1j}) \right\} \delta\varphi_2 \Big\} dS + \\
& + \int_{\Gamma_1} \left\{ \left[T_{11} + \sum_{i=1}^{n_1} T_{11i} \delta(\alpha_2 - \alpha_{2i}) \right] \delta u_1 + \left[(S + k_2 H) + \sum_{i=1}^{n_1} T_{12i} \delta(\alpha_2 - \alpha_{2i}) \right] \delta u_2 + \right. \\
& \quad \left. + \left[T_{13} + \sum_{i=1}^{n_1} T_{13i} \delta(\alpha_2 - \alpha_{2i}) \right] \delta u_3 + \left[M_{11} + \sum_{i=1}^{n_1} (M_{11i} \pm h_i T_{11i}) \delta(\alpha_2 - \alpha_{2i}) \right] \delta\varphi_1 + \right. \\
& \quad \left. + \left[H + \sum_{i=1}^{n_1} (M_{22i} \pm h_i T_{12i}) \delta(\alpha_2 - \alpha_{2i}) \right] \delta\varphi_2 \right\} dl_1 + \\
& + \int_{\Gamma_2} \left\{ \left[S + k_1 H + \sum_{j=1}^{n_2} T_{21j} \delta(\alpha_1 - \alpha_{1j}) \right] \delta u_1 + \left[T_{22} + \sum_{j=1}^{n_2} T_{22j} \delta(\alpha_1 - \alpha_{1j}) \right] \delta u_2 + \right. \\
& \quad \left. + \left[T_{23} + \sum_{j=1}^{n_2} T_{23j} \delta(\alpha_1 - \alpha_{1j}) \right] \delta u_3 + \left[H + \sum_{j=1}^{n_2} (M_{21j} \pm h_j T_{21j}) \delta(\alpha_1 - \alpha_{1j}) \right] \delta\varphi_1 + \right. \\
& \quad \left. + \left[M_{22} + \sum_{j=1}^{n_2} (M_{22j} \pm h_j T_{22j}) \delta(\alpha_1 - \alpha_{1j}) \right] \delta\varphi_2 \right\} dl_2 \Big\} dt - \\
& - \iint_S \left[\rho h \left(\frac{\partial u_1}{\partial t} \delta u_1 + \frac{\partial u_2}{\partial t} \delta u_2 + \frac{\partial u_3}{\partial t} \delta u_3 \right) + \rho \frac{h^3}{12} \left(\frac{\partial \varphi_1}{\partial t} \delta\varphi_1 + \frac{\partial \varphi_2}{\partial t} \delta\varphi_2 \right) \right] \Big|_{t_1}^{t_2} dS - \\
& - \int_{l_1} \left\{ \sum_{i=1}^{n_1} \left[\rho_i h_i \left(\frac{\partial u_{1i}}{\partial t} \delta u_{1i} + \frac{\partial u_{2i}}{\partial t} \delta u_{2i} + \frac{\partial u_{3i}}{\partial t} \delta u_{3i} \right) + \right. \right. \\
& \quad \left. \left. + \rho_i \left(I_{1i} \frac{\partial \varphi_{1i}}{\partial t} \delta\varphi_{1i} + I_{cri} \frac{\partial \varphi_{2i}}{\partial t} \delta\varphi_{2i} \right) \right] \delta(\alpha_2 - \alpha_{2i}) \right\} \Big|_{t_1}^{t_2} dl_1 - \\
& - \int_{l_2} \left\{ \sum_{j=1}^{n_2} \left[\rho_j h_j \left(\frac{\partial u_{1j}}{\partial t} \delta u_{1j} + \frac{\partial u_{2j}}{\partial t} \delta u_{2j} + \frac{\partial u_{3j}}{\partial t} \delta u_{3j} \right) + \right. \right. \\
& \quad \left. \left. + \rho_j \left(I_{crj} \frac{\partial \varphi_{1j}}{\partial t} \delta\varphi_{1j} + I_{2j} \frac{\partial \varphi_{2j}}{\partial t} \delta\varphi_{2j} \right) \right] \delta(\alpha_1 - \alpha_{1j}) \right\} \Big|_{t_1}^{t_2} dl_2 = 0,
\end{aligned}$$

при этом

$$\int_z \left(\varepsilon_{13}^z - \frac{\sigma_{13}^z}{G_{13}} \right) f_1(z) = 0; \quad \int_z \left(\varepsilon_{23}^z - \frac{\sigma_{23}^z}{G_{23}} \right) f_1(z) = 0,$$

где

$$\begin{aligned} L_1(\bar{U}) &= \frac{1}{A_1 A_2} \left\{ \frac{\partial}{\partial \alpha_1} (A_2 T_{11}) - \frac{\partial A_2}{\partial \alpha_1} T_{22} + \frac{\partial}{\partial \alpha_2} [A_1 (S + k_1 H)] + \frac{\partial A_1}{\partial \alpha_2} (S + k_2 H) \right\} + k_1 T_{13}; \\ L_2(\bar{U}) &= \frac{1}{A_1 A_2} \left\{ \frac{\partial}{\partial \alpha_1} [A_2 (S + k_2 H)] - \frac{\partial A_2}{\partial \alpha_1} (S + k_1 H) + \frac{\partial}{\partial \alpha_2} (A_1 T_{22}) - \frac{\partial A_1}{\partial \alpha_2} T_{11} \right\} + k_2 T_{23}; \\ L_3(\bar{U}) &= \frac{1}{A_1 A_2} \left[\frac{\partial}{\partial \alpha_1} (A_2 T_{13}) + \frac{\partial}{\partial \alpha_2} (A_1 T_{13}) \right] - k_1 T_{11} - k_2 T_{22}; \end{aligned} \quad (1.13)$$

$$L_4(\bar{U}) = \frac{1}{A_1 A_2} \left[\frac{\partial}{\partial \alpha_1} (A_2 M_{11}) - \frac{\partial A_2}{\partial \alpha_1} M_{22} + \frac{\partial}{\partial \alpha_2} (A_1 H) + \frac{\partial A_1}{\partial \alpha_2} H \right] - T_{13};$$

$$L_5(\bar{U}) = \frac{1}{A_1 A_2} \left[\frac{\partial}{\partial \alpha_1} (A_2 H) - \frac{\partial A_2}{\partial \alpha_1} H + \frac{\partial}{\partial \alpha_2} (A_1 M_{22}) - \frac{\partial A_1}{\partial \alpha_2} M_{11} \right] - T_{23};$$

$$L_{1i}(\bar{U}_i) = \frac{1}{A_1} \frac{\partial T_{11i}}{\partial \alpha_1} + k_{1i} T_{13i}; \quad L_{2i}(\bar{U}_i) = \frac{1}{A_1} \frac{\partial T_{12i}}{\partial \alpha_1}; \quad L_{3i}(\bar{U}_i) = \frac{1}{A_1} \frac{\partial T_{13i}}{\partial \alpha_1} - k_{1i} T_{11i}; \quad (1.14)$$

$$L_{4i}(\bar{U}_i) = \frac{1}{A_1} \frac{\partial M_{11i}}{\partial \alpha_1} - T_{13i} \pm h_i \left(\frac{1}{A_1} \frac{\partial T_{11i}}{\partial \alpha_1} + k_{1i} T_{11i} \right); \quad L_{5i}(\bar{U}_i) = \frac{1}{A_1} \frac{\partial}{\partial \alpha_1} (M_{12i} \pm h_i T_{12i});$$

$$L_{1j}(\bar{U}_j) = \frac{1}{A_2} \frac{\partial T_{21j}}{\partial \alpha_2}; \quad L_{2j}(\bar{U}_j) = \frac{1}{A_2} \frac{\partial T_{22j}}{\partial \alpha_2} + k_{2j} T_{23j}; \quad L_{3j}(\bar{U}_j) = \frac{1}{A_2} \frac{\partial T_{23j}}{\partial \alpha_2} - k_{2j} T_{22j}; \quad (1.15)$$

$$L_{4j}(\bar{U}_j) = \frac{1}{A_2} \frac{\partial}{\partial \alpha_2} (M_{21j} \pm h_j T_{21j}); \quad L_{5j}(\bar{U}_j) = \frac{1}{A_2} \frac{\partial M_{22j}}{\partial \alpha_2} - T_{23j} \pm h_j \left(\frac{1}{A_2} \frac{\partial T_{22j}}{\partial \alpha_2} + k_{2j} T_{23j} \right).$$

В соотношениях (1.11): $l_1 = A_1 d\alpha_1$; $l_2 = A_2 d\alpha_2$; Γ_1, Γ_2 – краевые контуры, которые ограничивают оболочку и совпадают с координатными линиями.

После стандартных преобразований получаем три группы уравнений.

Уравнения колебаний оболочки в гладкой области:

$$\begin{aligned} \frac{1}{A_2} \left[\frac{\partial}{\partial s_1} (A_2 T_{11}) - \frac{\partial A_2}{\partial s_1} T_{22} \right] + k_1 \bar{T}_{13} + \frac{1}{A_1} \frac{\partial}{\partial s_2} (A_1 T_{21}) &= \rho h \frac{\partial^2 u_1}{\partial t^2}; \\ \frac{1}{A_2} \left[\frac{\partial}{\partial s_1} (A_2 T_{12}) - \frac{\partial A_2}{\partial s_1} T_{21} \right] + k_2 \bar{T}_{23} + \frac{1}{A_1} \frac{\partial}{\partial s_2} (A_1 T_{22}) &= \rho h \frac{\partial^2 u_2}{\partial t^2}; \\ \frac{1}{A_2} \frac{\partial}{\partial s_1} (A_2 \bar{T}_{13}) - k_1 T_{11} - k_2 T_{22} + P_3 + \frac{1}{A_1} \frac{\partial}{\partial s_2} (A_1 \bar{T}_{23}) &= \rho h \frac{\partial^2 u_3}{\partial t^2}, \quad (1.16) \\ \frac{1}{A_2} \left[\frac{\partial}{\partial s_1} (A_2 M_{11}) - \frac{\partial A_2}{\partial s_1} M_{22} \right] - T_{13} + \frac{1}{A_1} \frac{\partial}{\partial s_2} (A_1 M_{21}) &= \rho \frac{h^3}{12} \frac{\partial^2 \varphi_1}{\partial t^2}; \end{aligned}$$

$$\frac{1}{A_2} \left[\frac{\partial}{\partial s_1} (A_2 M_{12}) + \frac{\partial A_2}{\partial s_1} M_{21} \right] + \frac{1}{A_1} \frac{\partial}{\partial s_2} (A_1 M_{22}) - T_{23} = \rho \frac{h^3}{12} \frac{\partial^2 \varphi_2}{\partial t^2}.$$

Уравнения колебания i -го подкрепляющего ребра, направленного вдоль оси α_1 :

$$\begin{aligned} \frac{\partial T_{11i}}{\partial s_1} + k_{1i} T_{13i} + [S]_{i=} &= \rho_i F_i \left(\frac{\partial^2 u_1}{\partial t^2} \pm h_{ci} \frac{\partial^2 \varphi_1}{\partial t^2} \right); \\ \frac{\partial T_{12i}}{\partial s_1} + [T_{22}]_{i=} &= \rho_i F_i \left(\frac{\partial^2 u_2}{\partial t^2} \pm h_{ci} \frac{\partial^2 \varphi_2}{\partial t^2} \right); \quad \frac{\partial T_{13i}}{\partial s_1} - k_{1i} T_{11i} + [T_{23}]_{i=} &= \rho_i F_i \frac{\partial^2 u_3}{\partial t^2}; \quad (1.17) \\ \frac{\partial M_{11i}}{\partial s_1} - T_{13i} \pm h_{ci} \left(\frac{\partial T_{11i}}{\partial s_1} + k_{1i} T_{13i} \right) + [H]_{i=} &= \rho_i F_i \left(\pm h_{ci} \frac{\partial^2 u_1}{\partial t^2} + \left(h_{ci}^2 + \frac{I_{1i}}{F_i} \right) \frac{\partial^2 \varphi_1}{\partial t^2} \right); \\ \frac{\partial M_{12i}}{\partial s_1} \pm h_{ci} \frac{\partial T_{12i}}{\partial s_1} + [M_{22}]_{i=} &= \rho_i F_i \left(\pm h_{ci} \frac{\partial^2 u_2}{\partial t^2} + \left(h_{ci}^2 + \frac{I_{cri}}{F_i} \right) \frac{\partial^2 \varphi_2}{\partial t^2} \right). \end{aligned}$$

Уравнения колебания j -го подкрепляющего ребра, направленного вдоль оси α_2 :

$$\begin{aligned} \frac{\partial \bar{T}_{21j}}{\partial s_2} + [T_{11}]_j &= \rho_j F_j \left(\frac{\partial^2 u_1}{\partial t^2} \pm h_{cj} \frac{\partial^2 \varphi_1}{\partial t^2} \right); \\ \frac{\partial T_{22j}}{\partial s_2} + k_{2j} \bar{T}_{23j} + [S]_j &= \rho_j F_j \left(\frac{\partial^2 u_2}{\partial t^2} \pm h_{cj} \frac{\partial^2 \varphi_2}{\partial t^2} \right); \quad \frac{\partial \bar{T}_{23j}}{\partial s_2} - k_{2j} T_{22j} + [\bar{T}_{13}]_j &= \rho_j F_j \frac{\partial^2 u_3}{\partial t^2}; \\ \frac{\partial M_{21j}}{\partial s_2} \pm h_{cj} \frac{\partial \bar{T}_{21j}}{\partial s_2} + [M_{11}]_j &= \rho_j F_j \left(\pm h_{cj} \frac{\partial^2 u_1}{\partial t^2} + \left(h_{cj}^2 + \frac{I_{crl}}{F_j} \right) \frac{\partial^2 \varphi_1}{\partial t^2} \right); \quad (1.18) \\ \frac{\partial M_{22j}}{\partial s_2} - T_{23j} \pm h_{cj} \left(\frac{\partial T_{22j}}{\partial s_2} + k_{2j} \bar{T}_{23j} \right) + [H]_j &= \rho_j F_j \left(\pm h_{cj} \frac{\partial^2 u_2}{\partial t^2} + \left(h_{cj}^2 + \frac{I_{2j}}{F_j} \right) \frac{\partial^2 \varphi_2}{\partial t^2} \right). \end{aligned}$$

Обозначения величин и соответствующие выражения усилий – моментов для гладкой оболочки и подкрепляющих ребер введены согласно [2].

Выражения усилий – моментов для гладкой оболочки имеют вид:

$$\begin{aligned} T_{11} &= B_{11} \varepsilon_{11} + B_{12} \varepsilon_{22}; \quad T_{22} = B_{21} \varepsilon_{11} + B_{22} \varepsilon_{22}; \quad T_{12} = S + k_2 H; \quad T_{21} = S + k_1 H; \\ T_{13} &= B_{13} \varepsilon_{13}; \quad T_{23} = B_{23} \varepsilon_{23}; \quad \bar{T}_{13} = T_{13} + T_{11} \theta_1 + S \theta_2; \quad \bar{T}_{23} = T_{23} + T_{22} \theta_2 + S \theta_1; \\ S &= B_s \varepsilon_{12}; \quad M_{11} = D_{11} \chi_{11} + D_{12} \chi_{22}; \quad M_{22} = D_{21} \chi_{11} + D_{22} \chi_{22}; \quad (1.19) \\ M_{12} &= M_{21} = H; \quad H = D_s \chi_{12}. \end{aligned}$$

Выражения усилий – моментов для подкрепляющих элементов имеют вид:

– для i -го ребра

$$\begin{aligned} T_{11i} &= E_i F_i \varepsilon_{11i}; \quad T_{12i} = G_i F_i \varepsilon_{12i}; \quad T_{13i} = k_i^2 G_i F_i \varepsilon_{13i}; \\ M_{11i} &= E_i I_{1i} \chi_{11i}; \quad M_{12i} = G_i I_{cri} \chi_{12i}; \quad (1.20) \end{aligned}$$

– для j -го ребра

$$T_{21j} = G_j F_j \varepsilon_{21j}; \quad T_{22j} = E_j F_j \varepsilon_{22j}; \quad T_{23j} = G_j F_j k_j^2 \varepsilon_{23j};$$

$$M_{21j} = G_j I_{crj} \chi_{21j}; \quad M_{22j} = E_j I_{2j} \chi_{22j}. \quad (1.21)$$

Выражения для величин деформаций в квадратичном приближении для оболочки записываем в виде [2]

$$\begin{aligned} \varepsilon_{11} &= \frac{\partial u_1}{\partial s_1} + k_1 u_3 + \frac{1}{2} \theta_1^2; \quad \varepsilon_{22} = \frac{\partial u_2}{\partial s_2} + \frac{1}{A_2} \frac{\partial A_2}{\partial s_1} u_1 + k_2 u_3 + \frac{1}{2} \theta_2^2; \\ \varepsilon_{12} &= \omega + \theta_1 \theta_2; \quad \varepsilon_{13} = \varphi_1 + \theta_1; \quad \varepsilon_{23} = \varphi_2 + \theta_2; \\ \omega &= \omega_1 + \omega_2; \quad \omega_1 = \frac{\partial u_2}{\partial s_1}; \quad \omega_2 = \frac{\partial u_1}{\partial s_2} - \frac{1}{A_2} \frac{\partial A_2}{\partial s_1} u_2; \end{aligned} \quad (1.22)$$

$$\theta_1 = \frac{\partial u_3}{\partial s_1} - k_1 u_1; \quad \theta_2 = \frac{\partial u_3}{\partial s_2} - k_2 u_2; \quad \chi_{11} = \frac{\partial \varphi_1}{\partial s_1}; \quad \chi_{22} = \frac{\partial \varphi_2}{\partial s_2} + \frac{1}{A_2} \frac{\partial A_2}{\partial s_1} \varphi_1;$$

$$\chi_{12} = \tau_1 + \tau_2 + \kappa_1 \omega_1 + \kappa_2 \omega_2; \quad \tau_1 = \frac{\partial \varphi_2}{\partial s_1}; \quad \tau_2 = \frac{\partial \varphi_1}{\partial s_2} - \frac{1}{A_2} \frac{\partial A_2}{\partial s_1} \varphi_2.$$

Деформационные соотношения для величин i -го ребра имеют следующий вид:

$$\varepsilon_{11i} = \frac{\partial u_1}{\partial s_1} \pm h_{ci} \frac{\partial \varphi_1}{\partial s_1} + k_{1i} u_3 + \frac{1}{2} \theta_{1j}^2 + \frac{1}{2} \theta_{2j}^2; \quad \varepsilon_{12i} = \theta_{2i}; \quad \varepsilon_{13i} = \varphi_1 + \theta_{1i}; \quad (1.23)$$

$$\theta_{1i} = \frac{\partial u_3}{\partial s_1} - k_{1i} (u_1 \pm h_{ci} \varphi_1); \quad \theta_{2i} = \frac{\partial u_2}{\partial s_1} \pm h_{ci} \frac{\partial \varphi_2}{\partial s_1}; \quad \chi_{11i} = \frac{\partial \varphi_1}{\partial s_1}; \quad \chi_{12i} = \frac{\partial \varphi_2}{\partial s_1}.$$

Выражения для величин деформаций в квадратичном приближении для подкрепляющих поперечных ребер записываются в виде:

$$\varepsilon_{22j} = \frac{\partial u_2}{\partial s_2} \pm h_{cj} \frac{\partial \varphi_2}{\partial s_2} + k_{2j} u_3 + \frac{1}{2} \theta_{1j}^2 + \frac{1}{2} \theta_{2j}^2; \quad \varepsilon_{21j} = \theta_{2j}; \quad \varepsilon_{23j} = \varphi_2 + \theta_{1j}; \quad (1.24)$$

$$\theta_{1j} = \frac{\partial u_3}{\partial s_2} - k_{2j} (u_2 \pm h_{cj} \varphi_2); \quad \theta_{2j} = \frac{\partial u_1}{\partial s_2} \pm h_{cj} \frac{\partial \varphi_1}{\partial s_2}; \quad \chi_{21j} = \frac{\partial \varphi_1}{\partial s_2}; \quad \chi_{22j} = \frac{\partial \varphi_2}{\partial s_2}.$$

Уравнения колебаний (1.16) – (1.24) дополняются соответствующими естественными граничными и начальными условиями, которые вытекают из представления функционала (1.12).

§2. Численный алгоритм.

Уравнения (1.16) – (1.24) представляют собой систему нелинейных дифференциальных уравнений в частных производных по переменным s_1, s_2, t при наличии пространственных разрывов по координатам s_1 и s_2 . Пространственными разрывами являются линии проектирования центров тяжести поперечного сечения продольного и поперечного ребер на срединную поверхность эллипсоидальной оболочки. Исходя из этого фактора, численный алгоритм решения исходной задачи строится следующим образом: ищется решение в гладкой области эллипсоидальной оболочки (1.16) и на линиях пространственных разрывов (1.17), (1.18) [2]. Соответственно записываются и интегрируются уравнения в гладкой области и на линиях разрывов. Разностный алгоритм основан на применении интегро-интерполяционного метода построения разностных схем по пространственным координатам и явной конечно-разностной аппроксимации по временной координате [2, 6]. При этом компоненты обобщенного вектора перемещений аппроксимируются в целых точках разностной сетки, а компоненты

величин деформаций и усилий в полуцелых точках сетки. Такой подход позволяет сохранить дивергентную форму разностного представления дифференциальных уравнений, а также и выполнение закона сохранения полной механической энергии на разностном уровне [5]. Переход от непрерывной системы к конечно-разностной выполняется в два этапа. Первый этап состоит в конечно-разностной аппроксимации дивергентных уравнений колебаний в усилиях – моментах.

Выполняя операцию интегрирования уравнений (1.16), с использованием явной аппроксимации по временной координате, получаем следующие разностные уравнения в гладкой области эллипсоидальной оболочки:

$$\begin{aligned}
& \frac{1}{A_{2l}} \left(\frac{A_{2l+1/2} T_{11l+1/2,m}^n - A_{2l-1/2} T_{11l-1/2,m}^n}{\Delta s_1} \right) - \frac{1}{A_{2l}} \frac{A_{2l+1/2} - A_{2l-1/2}}{\Delta s_1} T_{22l,m}^n + \\
& \quad + \frac{1}{A_{1l}} \frac{A_{1l} T_{21l,m+1/2}^n - A_{1l} T_{21l,m-1/2}^n}{\Delta s_2} + k_{1l} T_{13l,m}^n = \rho h (u_{1l,m}^n)_{\bar{u}} ; \quad (2.1) \\
& \frac{1}{A_{2l}} \left(\frac{A_{2l+1/2} T_{12l+1/2,m}^n - A_{2l-1/2} T_{12l-1/2,m}^n}{\Delta s_1} \right) - \frac{1}{A_{2l}} \frac{A_{2l+1/2} - A_{2l-1/2}}{\Delta s_1} T_{21l,m}^n + \\
& \quad + \frac{1}{A_{1l}} \left(\frac{A_{1l} T_{22l,m+1/2}^n - A_{1l} T_{22l,m-1/2}^n}{\Delta s_2} \right) + k_{2l} T_{23l,m}^n = \rho h (u_{2l,m}^n)_{\bar{u}} ; \\
& \quad \frac{1}{A_{2l}} \left(\frac{A_{2l+1/2} T_{13l+1/2,m}^n - A_{2l-1/2} T_{13l-1/2,m}^n}{\Delta s_1} \right) - k_{1l} T_{11l,m}^n + \\
& \quad + \frac{1}{A_{1l}} \left(\frac{A_{1l} T_{23l,m+1/2}^n - A_{1l} T_{23l,m-1/2}^n}{\Delta s_2} \right) - k_{2l} T_{22l,m}^n + P_{3l,m}^n = \rho h (u_{3l,m}^n)_{\bar{u}} ; \\
& \frac{1}{A_{2l}} \left(\frac{A_{2l+1/2} M_{11l+1/2,m}^n - A_{2l-1/2} M_{11l-1/2,m}^n}{\Delta s_1} \right) - \frac{1}{A_{2l}} \frac{A_{2l+1/2} - A_{2l-1/2}}{\Delta s_1} M_{22l,m}^n + \\
& \quad + \frac{1}{A_{1l}} \left(\frac{A_{1l} M_{21l,m+1/2}^n - A_{1l} M_{21l,m-1/2}^n}{\Delta s_2} \right) - T_{13l,m}^n = \frac{\rho h^3}{12} (\varphi_{1l,m}^n)_{\bar{u}} ; \\
& \frac{1}{A_{2l}} \left(\frac{A_{2l+1/2} M_{12l+1/2,m}^n - A_{2l-1/2} M_{12l-1/2,m}^n}{\Delta s_1} \right) - \frac{1}{A_{2l}} \frac{A_{2l+1/2} - A_{2l-1/2}}{\Delta s_1} M_{21l,m}^n + \\
& \quad + \frac{1}{A_{1l}} \left(\frac{A_{1l} M_{22l,m+1/2}^n - A_{1l} M_{22l,m-1/2}^n}{\Delta s_2} \right) - T_{23l,m}^n = \frac{\rho h^3}{12} (\varphi_{2l,m}^n)_{\bar{u}} .
\end{aligned}$$

В разностных уравнениях (2.1) компоненты обобщенного вектора перемещений срединной поверхности гладкой эллипсоидальной оболочки $\bar{U} = (u_1, u_2, u_3, \varphi_1, \varphi_2)^T$

отнесены к целым узлам разностной сетки $\bar{U}_{l,m} = (u_{1l,m}, u_{2l,m}, u_{3l,m}, \varphi_{1l,m}, \varphi_{2l,m})^T$ по пространственным координатам.

Выполняя операцию интегрирования уравнений (1.17), с использованием явной аппроксимации по временной координате, получаем следующие разностные уравнения для i -го подкрепляющего ребра:

$$\begin{aligned}
& \frac{T_{11il+1/2}^n - T_{11il-1/2}^n}{\Delta s_1} + k_{1il} T_{13il}^n + [S]_i^n = \rho_i F_i \left[(u_{1l}^n)_{it} \pm h_{ci} (\varphi_{1l}^n)_{it} \right]; \\
& \frac{T_{12il+1/2}^n - T_{12il-1/2}^n}{\Delta s_1} + [T_{22}]_i^n = \rho_i F_i \left[(u_{2l}^n)_{it} \pm h_{ci} (\varphi_{2l}^n)_{it} \right]; \\
& \frac{T_{13il+1/2}^n - T_{13il-1/2}^n}{\Delta s_1} - k_{1il} T_{11il}^n + [T_{23}]_i^n = \rho_i F_i (u_{3l}^n)_{it}; \\
& \frac{M_{11il+1/2}^n - M_{11il-1/2}^n}{\Delta s_1} - T_{13il}^n \pm h_{ci} \left(\frac{T_{11il+1/2}^n - T_{11il-1/2}^n}{\Delta s_1} + k_{1il} T_{13il}^n \right) + [H]_i^n = \\
& = \rho_i F_i \left[\pm h_{ci} (u_{1l}^n)_{it} + \left(h_{ci}^2 + \frac{I_{li}}{F_i} \right) (\varphi_{1l}^n)_{it} \right]; \tag{2.2} \\
& \frac{M_{12il+1/2}^n - M_{12il-1/2}^n}{\Delta s_1} \pm h_{ci} \frac{T_{12ik+1/2}^n - T_{12ik-1/2}^n}{\Delta s_1} + [M_{22}]_i^n = \\
& = \rho_i F_i \left[\pm h_{ci} (u_{2l}^n)_{it} + \left(h_{ci}^2 + \frac{I_{crl}}{F_i} \right) (\varphi_{2l}^n)_{it} \right].
\end{aligned}$$

В разностных уравнениях (2.2) компоненты обобщенного вектора перемещений центров масс поперечных сечений i -го ребра $\bar{U}_i = (u_{1i}, u_{2i}, u_{3i}, \varphi_{1i}, \varphi_{2i})^T$ отнесены к целым узлам разностной сетки по пространственным координатам.

Выполняя операцию интегрирования уравнений (1.17), с использованием явной аппроксимации по временной координате, получаем следующие разностные уравнения для j -го подкрепляющего ребра:

$$\begin{aligned}
& \frac{T_{21jm+1/2}^n - T_{21jm-1/2}^n}{\Delta s_2} + [T_{11}]_j^n = \rho_j F_j \left[(u_{1m}^n)_{it} \pm h_{cj} (\varphi_{1m}^n)_{it} \right]; \\
& \frac{T_{22jm+1/2}^n - T_{22jm-1/2}^n}{\Delta s_2} + k_{2jm} T_{23jm}^n + [S]_j^n = \rho_j F_j \left[(u_{2m}^n)_{it} \pm h_{cj} (\varphi_{2m}^n)_{it} \right]; \\
& \frac{T_{23jm+1/2}^n - T_{23jm-1/2}^n}{\Delta s_2} - k_{2jm} T_{22jm}^n + [T_{13}]_j^n = \rho_j F_j (u_{3m}^n)_{it}; \tag{2.3} \\
& \frac{M_{21jm+1/2}^n - M_{21jm-1/2}^n}{\Delta s_2} \pm h_{cj} \frac{T_{21jm+1/2}^n - T_{21jm-1/2}^n}{\Delta s_2} + [M_{11}]_j^n = \\
& = \rho_j F_j \left[\pm h_{cj} (u_{1m}^n)_{it} + \left(h_{cj}^2 + \frac{I_{crl}}{F_j} \right) (\varphi_{1m}^n)_{it} \right];
\end{aligned}$$

$$\begin{aligned} & \frac{M_{22j\ m+1/2}^n - M_{22j\ m-1/2}^n}{\Delta s_2} - T_{23j\ m}^n \pm h_{cj} \left(\frac{T_{22j\ m+1/2}^n - T_{22j\ m-1/2}^n}{\Delta s_2} + k_{2j\ m} T_{23j\ m}^n \right) + [H]_j^n = \\ & = \rho_j F_j \left[\pm h_{cj} (u_{2m}^n)_{it} + \left(h_{cj}^2 + \frac{I_{2j}}{F_j} \right) (\varphi_{2m}^n)_{it} \right]. \end{aligned}$$

Аналогично случаю гладкой эллипсоидальной оболочки, в разностных уравнениях (2.2) компоненты обобщенного вектора перемещений центров масс поперечных сечений j -го ребра $\bar{U}_j = (u_{1j}, u_{2j}, u_{3j}, \varphi_{1j}, \varphi_{2j})^T$ отнесены к целым узлам разностной сетки по пространственным координатам.

Второй этап аппроксимации уравнений состоит в конечно-разностных аппроксимациях величин усилий – моментов и соответствующих деформаций, чтобы выполнялся конечно-разностный аналог энергетического уравнения [5].

При исследовании вопросов устойчивости линеаризованных разностных уравнений используются необходимые условия устойчивости, согласно которому $\Delta t \leq 2 / \omega$, где $\omega = \max(\omega_0, \omega_i, \omega_j)$ – максимальные частоты собственных колебаний дискретно-разностной системы соответственно обшивки, i -го и j -го подкрепляющего элемента.

§3. Числовой пример.

В качестве числового примера рассматривалась задача вынужденных колебаний эллипсоидальной оболочки подкрепленной продольно-поперечным набором ребер с жестко защемленными краями в области $D = \{\alpha_{10} \leq \alpha_1 \leq \alpha_{1N}, \alpha_{20} \leq \alpha_2 \leq \alpha_{2N}\}$ при действии распределенной нормальной нагрузки $P_3(\alpha_1, \alpha_2, t)$. Краевые условия при этом имеют следующий вид: $\bar{U}(\alpha_{10}, \alpha_2) = \bar{U}(\alpha_{1N}, \alpha_2) = 0$, $\bar{U}(\alpha_1, \alpha_{20}) = \bar{U}(\alpha_1, \alpha_{2N}) = 0$. Начальные условия для всех компонент обобщенного вектора перемещений нулевые при $t = 0$, т.е.

$$\begin{aligned} u_1(\alpha_1, \alpha_2) = u_2(\alpha_1, \alpha_2) = u_3(\alpha_1, \alpha_2) = \varphi_1(\alpha_1, \alpha_2) = \varphi_2(\alpha_1, \alpha_2) = 0; \\ \frac{\partial u_1(\alpha_1, \alpha_2)}{\partial t} = \frac{\partial u_2(\alpha_1, \alpha_2)}{\partial t} = \frac{\partial u_3(\alpha_1, \alpha_2)}{\partial t} = \frac{\partial \varphi_1(\alpha_1, \alpha_2)}{\partial t} = \frac{\partial \varphi_2(\alpha_1, \alpha_2)}{\partial t} = 0. \end{aligned}$$

Распределенная нормальная нагрузка $P_3(\alpha_1, \alpha_2, t)$ имеет вид

$$P_3(\alpha_1, \alpha_2, t) = A \cdot \sin \frac{\pi t}{T} [\eta(t) - \eta(t - T)],$$

где A – амплитуда нагрузки; T – длительность нагрузки. В расчетах полагалось $A = 10^6$ Па; $T = 50 \cdot 10^{-6}$ с.

Задача рассмотрена при следующих геометрических и физико-механических параметрах исходной конструкции (случай изотропной оболочки):

$$\begin{aligned} \alpha_{10} = \pi / 12; \quad \alpha_{1N} = \pi - (\pi / 12); \quad \alpha_{20} = -\pi / 2; \quad \alpha_{2N} = \pi / 2; \quad a / h = 30; \quad k = 1,5; \\ E = 7 \cdot 10^{10} \text{ Па}; \quad \nu = 0,33; \quad \rho = 2,7 \cdot 10^3 \text{ кг/м}^3. \end{aligned}$$

Геометрические и физико-механические параметры поперечно подкрепляющего элемента: $h_j = 4 \cdot h$; $F_j = 4 \cdot h^2$; $E_j = E$; $G_j = G_{12}$; $\rho_j = \rho$.

Продольно подкрепляющий элемент располагался вдоль координаты α_1 в сечении $\alpha_2 = 0$. Геометрические и физико-механические параметры подкрепляющего элемента: $h_i = 4 \cdot h$; $F_i = 4 \cdot h^2$; $E_i = E$; $G_i = G_{12}$; $\rho_i = \rho$.

Поперечно подкрепляющий элемент располагался вдоль по координате α_2 в сечении $\alpha_1 = \pi / 2$.

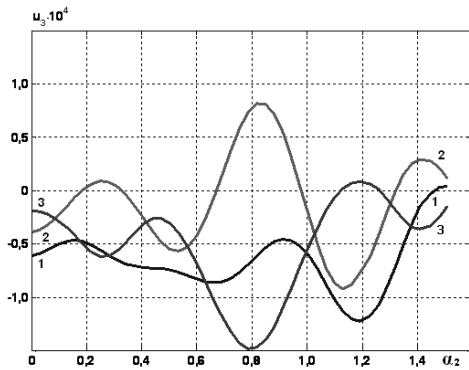


Рис. 1

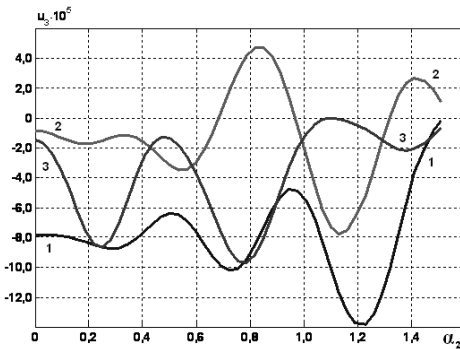


Рис. 2

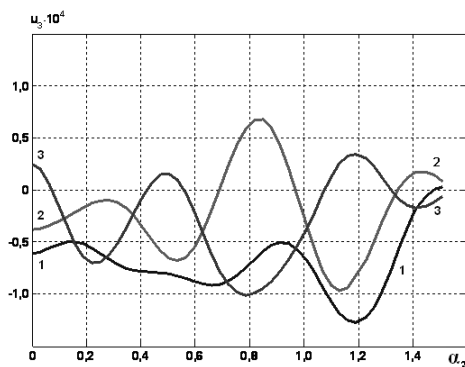


Рис. 3

На рис. 1 – 3 приведены результаты расчетов. Расчеты проводились на временном интервале $t = 20T$. На рисунках приведены наиболее характерные кривые для величин u_3 , которые позволяют проводить анализ деформированного состояния исследуемой структуры. Рис. 1 – 3 соответствует зависимости величины u_3 от пространственной координаты α_2 в сечении $\alpha_1 = \pi/4$ (в силу симметрии приводятся зависимости по координате α_2 в диапазоне $0 \leq \alpha_2 \leq \pi/2$).

Рис. 1 соответствует случаю продольно-подкрепляющего элемента вдоль координаты α_1 в сечении $\alpha_2 = 0$ в моменты

времени $t_1 = 5T$, $t_2 = 11T$ и $t_3 = 19T$. Анализ полученных данных показал, что

$$\max_{0 \leq t \leq 20T} |u_3| = 1,48 \cdot 10^{-4} \text{ м (в момент времени } t = 19T \text{)}.$$

Рис. 2 соответствует случаю поперечно-подкрепляющего элемента вдоль координаты α_2 в сечении $\alpha_1 = \pi/2$ в моменты времени $t_1 = 5T$, $t_2 = 11T$ и $t_3 = 19T$. Анализ полученных данных показал, что $\max_{0 \leq t \leq 20T} |u_3| = 1,38 \cdot 10^{-4}$ м (в момент времени $t = 5T$).

Рис. 3 соответствует случаю продольно-поперечно-подкрепляющего элемента вдоль координаты α_2 в сечении $\alpha_1 = \pi/2$ в момент времени $t_1 = 5T$, $t_2 = 11T$ и $t_3 = 19T$. Анализ полученных данных показал, что $\max_{0 \leq t \leq 20T} |u_3| = 1,26 \cdot 10^{-4}$ м (в момент времени $t = 5T$).

Для случая оболочки с продольно-поперечным набором ребер величина максимального прогиба на 10% меньше по сравнению со случаем поперечно-подкрепленной оболочки и на 17% меньше по сравнению со случаем продольно-подкрепленной оболочки.

Как следует из приведенного графического материала, можно визуальнo определить месторасположения подкрепляющих ребер.

Заключение.

В работе приведена постановка задач теории колебаний упругих дискретно-подкрепленных эллипсоидальных оболочек. Оболочка и подкрепляющие элементы рассматриваются в рамках теории оболочек и криволинейных стержней согласно модели Тимошенко в нелинейном квадратичном приближении. Для задач данного класса раз-

вит эффективный численный алгоритм, который основан на применении конечно-разностных схем по пространственным координатам и явной аппроксимации по временной координате. Приведены численные примеры расчетов и проведен их анализ.

РЕЗЮМЕ. Представлено постановку задач про вимушені неосесиметричні коливання підкріплених еліпсоїдальних оболонок при нестационарних навантаженнях, побудовано чисельний алгоритм і наведено аналіз результатів розв'язування вказаних задач.

1. *Амиро И.Я., Заруцкий В.А.* Учет дискретного размещения ребер при изучении напряженно-деформированного состояния, колебаний и устойчивости ребристых оболочек (обзор) // Прикл. механика. – 1998. – **34**, № 4. – С. 3 – 22.
2. *Головка К.Г., Луговой П.З., Мейш В.Ф.* Динамика неоднородных оболочек при нестационарных нагрузках / Под ред. акад. НАН Украины А.Н. Гузя. – К.: Изд. – полиграф. центр «Киевский ун-т», 2012. – 541 с.
3. *Гуляев В.И., Баженов В.А., Гоцуляк Е.А.* Устойчивость нелинейных механических систем. – Львов: Вища школа, 1982. – 255 с.
4. *Мейш В.Ф.* К численному решению задач динамики подкрепленных эллипсоидальных оболочек при нестационарных нагрузках // Прикл. механика. – 2005. – **41**. – № 4. – С. 53 – 60.
5. *Навал И.К., Пацюк В.И., Римский В.К.* Нестационарные волны в деформируемых средах. – Кишинев: Штиница, 1986. – 236 с.
6. *Самарский А.А.* Теория разностных схем. – М.: Наука, 1977. – 656 с.
7. *Abramovich H.* Stability and Vibrations of Thin – Walled Composite Structures. – Woodhead Publishing, 2017. – 770 p.
8. *Guadong C.* The Uniformly Valid Asymptotic Solution of Ellipsoidal Shell Heads in Pressure Vessels // ASME J. Pressure Vessel Technol. – 1985. – **107**(1). – P. 92 – 95.
9. *Kang J-H.* Vibrations of hemi – ellipsoidal shells of revolution with eccentricity from a three – dimensional theory // J. of Vibration and Control. – 2015. – **2**(12). – P. 285 – 299.
10. *Kang J-H., Leissa A.W.* Vibration analysis of solid ellipsoids and hollow ellipsoidal shells of revolution with variable thickness from a three – dimensional theory // Acta Mechanica. – 2008. – **197**. – P. 97 – 117.
11. *Karpov V.V.* Models of the shells having ribs, reinforcement plates and cutouts // Int. J. of Solids and Structures. – 2018. – **146**. – P. 117 – 135.
12. *Khalifa M.* Effects of non – uniform Winkler foundation and non – homogeneity of the free vibration of an orthotropic elliptical cylindrical shell // European J. of Mechanics – A/Solids. – 2015. – **49**. – P. 570 – 581.
13. *Krivoshapko S.N.* Research of General and Ellipsoidal Shells Used as Domes, Pressure Vessels and Tanks // Appl. Mech. Rev. – 2007. – **60**(6). – P. 336 – 355.
14. *Logan D.L., Hourani M.* Membrane Theory for Layered Ellipsoidal Shells // ASME J. Pressure Vessel Technol. – 1983. – **105**(4). – P. 356 – 362.
15. *Lugovoi P.Z., Meish V.F.* Dynamics of Inhomogeneous Shell Systems under Non – Stationary Loading (Survey) // Int. Appl. Mech. – 2017. – **53**, N 5. – P. 481 – 537.
16. *Maiborodina N.V., Meish V.F.* Forced Vibrations of Ellipsoidal Shells Reinforced with Ribs under a Nonstationary Distributed Load // Int. Appl. Mech. – 2013. – **49**, N 6. – P. 693 – 701.
17. *Meish V.F., Meish Yu.A., Pavlyuk A.V.* Dynamics of a Three – Layer Elliptic Cylindrical Shells Reinforced with Discrete Rings // Int. Appl. Mech. – 2018. – **54**, N 2. – P. 172 – 179.
18. *Meish V.F., Pavlyuk A.V.* Nonstationary Vibrations of Elliptic Cylindrical Sandwich Shells Reinforced with Discrete Stringers // Int. Appl. Mech. – 2017. – **53**, N 1. – P. 67 – 75.
19. *Tornabene E., Fantuzzi N., Baccocchi M., Dimitri R.* Free vibrations of composite oval and elliptic cylinders by the generalized differential quadrature method // Thin – Walled Structures. – 2015. – **97**. – P. 114 – 129.
20. *Yamada G., Irie T., Notoya S.* Natural frequencies of elliptical cylindrical shells // J. of Sound and Vibration. – 1985. – **101**, N 1. – P. 133 – 139.

Поступила 24.04.2017

Утверждена в печать 22.05.2018